



Research Paper

مقاله پژوهشی

## Performance Evaluation of Hydrothermal Carbonation Treatment to Biogas Production from Anaerobic Digestion of Organic Waste

Reza Ghasemzadeh<sup>1</sup>, Mohammad Ali Abdoli<sup>2\*</sup>, Omid Bozorg-Haddad<sup>3</sup> and Maryam Pazoki<sup>4</sup>

1- M.Sc., Faculty of Environment, College of Environmental Engineering, University of Tehran, Tehran, Iran.

2- Professor, Faculty of Environment, College of Environmental Engineering, University of Tehran, Tehran, Iran

3- Professor, School of Irrigation and Reclamation Engineering, Faculty of Agricultural Engineering and Technology, Faculty of Agriculture and Natural Resources, University of Tehran, Karaj, Tehran, Iran.

4- Assistant Professor, School of Environment, College of Environmental Engineering, University of Tehran, Tehran, Iran.

\*Corresponding Author, Email: [mabdoli@ut.ac.ir](mailto:mabdoli@ut.ac.ir)

Received: 28/07/2021

Revised: 16/09/2021

Accepted: 20/09/2021

© IWWA

### Abstract

The most problems in the field of municipal waste management are related to the organic fraction of municipal solid waste (OFMSW). In this experimental study, the effect of hydrochars produced at 150, 190, and 230 °C on AD process was analyzed with a sample of the OFMSW of Tehran. Due to the hydrothermal carbonization process, with increasing temperature, the hydrochar yield decreased and due to the increase in thermal value, the energy yield in hydrochar-190 was maximum. The effect of hydrochars on biogas production was variable and in hydrochars-150 and 190, 23.25 and 41.3% increase in biogas production was observed, respectively. This phenomenon was due to the destruction of the hard structure of the OFMSW. On the other hand, in hydrochar-230, there was a 30.63% reduction in biogas production, which was due to the production of inhibitor products such as phenol and furfural in the hydrothermal carbonation process. According to the results, the best conditions for the maximum production of biogas in the produced hydrochar at temperature of 190 °C and a retention time of 40 minutes. Also, the percentage of methane production in this condition was 63.25%.

**Keywords:** Hydrothermal carbonization, Anaerobic digestion, Organic fraction of municipal solid waste, Biogas production, Hydrochar

## بررسی کارایی پردازش کربنیزاسیون گرمابی بر تولید بیوگاز ناشی از هضم بی‌هوایی مواد آلی

رضا قاسمزاده<sup>۱</sup>، محمدعلی عبدالی<sup>۲\*</sup>، امید بزرگ حداد<sup>۳</sup> و مریم پازکی<sup>۴</sup>

۱- کارشناس ارشد، مهندسی محیط‌زیست، دانشکده محیط‌زیست، دانشگاه تهران، تهران، ایران.

۲- استاد، گروه مهندسی محیط‌زیست، دانشکده محیط‌زیست، دانشگاه تهران، تهران، ایران.

۳- استاد، گروه مهندسی آبیاری و آبادانی، پردیس کشاورزی و منابع طبیعی، دانشگاه تهران، تهران، ایران.

۴- استادیار، گروه مهندسی محیط‌زیست، دانشکده محیط‌زیست، دانشگاه تهران، تهران، ایران.

\*نویسنده مسئول، ایمیل: [mabdoli@ut.ac.ir](mailto:mabdoli@ut.ac.ir)

تاریخ دریافت: ۱۴۰۰/۰۵/۰۶

تاریخ اصلاح: ۱۴۰۰/۰۶/۲۵

تاریخ پذیرش: ۱۴۰۰/۰۶/۲۹

© انجمن آب و فاضلاب ایران

### چکیده

بیشترین مشکلات در زمینه مدیریت پسماند شهری مربوط به بخش آلی پسماندهای شهری است. در این پژوهش که به صورت تجربی انجام شد، اثر هیدرورچارهای تولیدی در ماهای ۱۵۰، ۱۹۰ و ۲۳۰ درجه سانتی‌گراد بر فرایند هضم بی‌هوایی با نمونه بخش آلی پسماندهای شهری تهران بررسی شد. بر اثر فرآیند کربنیزاسیون گرمابی، با افزایش دما، میزان بازدهی هیدرورچار کاهش یافت و در عین حال با توجه به افزایش ارزش حرارتی، میزان بازدهی انرژی در هیدرورچار-۱۹۰ به بیشینه حالت خود رسید. اثرگذاری هیدرورچار بر میزان تولید بیوگاز متغیر بود و در هیدرورچارهای ۱۵۰ و ۱۹۰ و ۲۳۰/۲۵ و ۴۱۰/۳ به ترتیب ۳۰/۶۳ درصد کاهش تولید بیوگاز مشاهده شد که ناشی از تحریب ساختار سخت بخش آلی پسماندهای شهری بود. از طرفی در هیدرورچار-۲۳۰ درصد افزایش تولید بیوگاز مشاهده شد که ناشی از تولید محصولات بازدارنده مانند فنول و فورفورال در فرآیند کربنیزاسیون گرمابی بود. با توجه به نتایج حاصل شده، بهترین شرایط بهمنظور تولید بیشینه بیوگاز در هیدرورچار تولیدی در ماهی ۱۹۰ درجه سانتی‌گراد و زمان ماند ۴۰ دقیقه بود. همچنین درصد تولید متان در این شرایط معادل ۶۳/۲۵ درصد بود.

**کلمات کلیدی:** کربنیزاسیون گرمابی، هضم بی‌هوایی، بخش آلی پسماند شهری، تولید بیوگاز، هیدرورچار

## ۱- مقدمه

تبديل می‌کند: ۱- بیوگاز دارای ارزش حرارتی به عنوان یک سوخت تجدیدپذیر که می‌تواند الکتریسیته و حرارت تولید نماید و یا این که به عنوان سوخت مصرفی در تجهیزات و خودروها مورد استفاده قرار گیرد. ۲- کود (مواد هضم شده) تولید کند که به صورت مستقیم و یا ترکیب شده در کشاورزی مورد مصرف قرار گیرد (Bolzonella et al., 2006).

در طول سالیان گذشته، هضم بی‌هوایی به صورت گستردگی به عنوان روش مدیریت بخش آلی پسماندهای شهری و سایر پسماندهای آلی مورد استفاده قرار گرفته و انرژی تولیدی به فرم بیوگاز بازیابی شده است. محققین زیادی در جهت بهبود و افزایش میزان بیوگاز پیش‌پردازش‌های شیمیایی مانند ازنزنی، افزودن اسید و قلیا، فیزیکی مانند خرد کردن، حرارتی، میکروویو، التراسونیک، بیولوژیکی انجام داده‌اند (Zeynali et al., 2017; Cesaro et al., 2019; Cesaro et al., 2014; Liu et al., 2020; Yu et al., 2019).

هیدروچار یک جاذب جامد کربنی است که از فرایند کربنیزاسیون گرمایی به عنوان یک روش نوین تبدیل حرارتی مواد آلی به دست می‌آید (Libra et al., 2011). معمولاً فرایند کربنیزاسیون گرمایی در بازه دمایی  $150\text{--}230^{\circ}\text{C}$ ، فشار حداقل ۲۰ بار و در محیط مرطوب صورت می‌پذیرد (Libra et al., 2011). طبق مطالعات گذشته اضافه نمودن هیدروچار به فرایند هضم بی‌هوایی، ظرفیت بافری را افزایش داده، عوامل بازدارنده فرایند را کاهش و میزان تولید بیوگاز را افزایش می‌دهد. در این مطالعه بیشینه میزان بیوگاز تولیدی  $450\text{ mL/g-VS}$  بود و میزان درصد متان تولیدی از  $57/5\%$  به  $69/8\%$  رسید. هر گرم هیدروچار، ۲۵ میلی‌گرم آمونیوم و ۵۰ میلی‌گرم اسیدهای چرب فرار را حذف کرد (Xu et al., 2018). در مطالعه دیگری، اثر هیدروچار بر فرایند هضم بی‌هوایی مورد بررسی قرار گرفت که که بیشترین میزان تولید بیوگاز و متان در دمای  $140^{\circ}\text{C}$  و بهترتیب معادل VS L/Kg در  $288\text{--}207$  بود که بهترتیب  $24\text{--}37$  درصد افزایش یافته بود. هم‌چنین در بازه زمانی  $10\text{--}13$  روز،  $95\%$  بازدهی بیوگاز ثبت شد. در این مطالعه با افزایش دما، میزان بازدهی تولید متان کاهش یافت (Choe et al., 2021).

در مطالعه دیگری نشان داده شده است که کاربرد هیدروچار تولیدی در دمای  $240^{\circ}\text{C}$  در فرایند هضم بی‌هوایی، متان کمتری نسبت به دمای پایین‌تر تولید می‌کند (Zhu et al., 2021). علاوه‌بر این، Mustafa et al. (2018) اثر هیدروچار را بر تولید بیوگاز فرایند هضم بی‌هوایی با گازس مورد بررسی قرار دادند. آن‌ها نتیجه گرفتند در بازه دمایی  $160\text{--}180^{\circ}\text{C}$ ، بازدهی تولید بیوگاز افزایش و از  $180$  تا  $200\text{--}220$  درجه سانتی‌گراد، بازدهی تولید

روش‌های دفع معمول پسماند شهری شامل دفن بهداشتی، روش‌های حرارتی (در کشورهایی با سطح درآمد بالا)، کمپوست و تلنبار (در کشورهای با سطح درآمد پایین) است. دفن بهداشتی اگر به صورت مناسب انجام نشود ممکن است منابع آبی نزدیک به محل دفن و خاک اطراف را به وسیله شیرابه که حاوی فلزات سنگین، آلاینده‌های آلی پایدار و پاتوژن‌های میکروبی است، آلوده نماید. هم‌چنین محلهای دفن با مدیریت ضعیف به وسیله انتشار بو، گازهای گلخانه‌ای و ترکیبات آلی فرار باعث آلودگی هوا می‌شوند (Pham et al., 2015; Vergara and Tchobanoglous, 2015; Wilson et al., 2015; Liu et al., 2017).

به عنوان یک روش حرارتی هزینه سرمایه‌گذاری و بهره‌برداری بالایی دارد و تولید خاکستر، مواد زائد و آلاینده‌های گازی مانند  $\text{CO}_2$ ,  $\text{NO}_x$ , دیوکسین و فوران می‌نماید. روش‌هایی مانند پپرولیز و گازی‌سازی از نظر تکنیکی در حال پیشرفت هستند ولی در مقیاس صنعتی به صورت فرآگیر مورد استفاده قرار نگرفته‌اند (Babu et al., 2021). روش کمپوست نیز به دلیل تولید محصول دارای ارزش کم از پسماند و کاهش حجم محدود پسماند، مورد اقبال عمومی قرار نگرفته است (Ferrari et al., 2020).

یکی از چالش‌های مدیریت پسماند شهری در کشورهای در حال توسعه، درصد بالای بخش آلی پسماند شهری و رطوبت بالای آن است. در کشورهای با سطح درآمد کم و متوسط  $50\text{--}70\%$  درصد از کل پسماند شهری و در کشورهای با سطح درآمد بالا،  $20\text{--}40\%$  درصد از کل پسماند شهری را قسمت آلی تشکیل می‌دهد (Pham et al., 2015). اگر مدیریت بخش آلی پسماند شهری به صورت صحیح انجام شود، می‌تواند منبع با ارزشی از انرژی قابل تجدیدپذیر باشد.

پسماند شهری به دلیل دارا بودن ترکیبات آلی زیاد در خود، به عنوان یک خوارک برای میکرووارگانیسم‌های بی‌هوایی به شمار می‌رود و بخش آلی آن می‌تواند به ترکیبات ساده‌تر تجزیه شوند (Abudi et al., 2016). فرایند هضم بی‌هوایی به فرایندی اطلاق می‌شود که مواد آلی به وسیله برخی میکرووارگانیسم‌ها در یک محیط بدون اکسیژن تجزیه می‌شوند. هضم بی‌هوایی نه تنها به عنوان یک منبع انرژی، بلکه یک روش مناسب برای کاهش آلودگی‌های ناشی از مدیریت نامناسب پسماندهای آلی و جلوگیری از رهاسازی گازهای گلخانه‌ای به شمار می‌رود (Abudi et al., 2016; Zamri et al., 2021).

فرایند هضم بی‌هوایی مواد آلی را به دو محصول با ارزش

$$\text{بازدهی هیدروچار تولیدی} (\%) = \frac{\text{جرم هیدروچار خشک شده تولیدی (گرم)}}{\text{جرم بخش آلی پسماند شهری مصرف شده (گرم)}} \times 100 \quad (1)$$

$$\times \text{بازدهی هیدروچار تولیدی} = \frac{\text{ارزش حرارتی هیدروچار تولیدی}}{\text{ارزش حرارتی بخش آلی پسماند شهری}} \quad (2)$$

**۳-۲- آزمایش هضم بیهوازی**

پتانسیل تولید متان بخش آلی پسماندهای شهری و انواع هیدروچار بهوسیله بطری‌های شیشه‌ای به حجم ۱۱۸ میلی‌لیتر به عنوان راکتور ناپیوسته استفاده شد. درون هر راکتور مقدار ۲۰ میلی‌لیتر از مخلوط میکروبی شامل لجن فعال و ۵ میلی‌لیتر آب مقطر به همراه ۰.۲۵ گرم بر مبنای وزن خشک سوبسترا ریخته (هیدروچار تولیدی از فرایند کربنیزاسیون گرمابی در درجه حرارت‌های طراحی شده) و درب آن توسط درپوش لاستیکی و کلاهک الومینیومی محکم شد. در جدول‌های ۱ و ۲ خصوصیات محتوی مخلوط میکروبی ارائه شده است. سپس به‌مدت سه دقیقه گازی با ترکیب ۸۰٪ نیتروژن و ۲۰٪ دی‌اکسیدکربن به درون این بطری‌ها تزریق و به‌طور همزمان توسط سرنگی دیگر هوای داخل آن تخلیه شد تا سیستم بی‌هوایی ایجاد شود. این سیستم ناپیوسته به‌روش هانسن معروف بوده و در آزمایش‌های بسیاری از محققین به عنوان راکتور ناپیوسته هضم بی‌هوایی مورد استفاده قرار گرفته است (Hansen et al., 2004). هاضم بی‌هوایی موردن استفاده در گستره دمایی مزوفیلیک (۳۷ °C) فعال بود.

**۴-۲- نمونه‌برداری و آنالیز گاز**

آنالیز بیوگاز تولیدی و تعیین درصد متان و دی‌اکسیدکربن (مجموع گازهای متان، دی‌کسیدکربن و نیتروژن به عنوان بیوگاز تولیدی در نظر گرفته شده است) با استفاده از یک دستگاه GC انجام گرفت. دستگاه مجهز به نرمافزار ABC peak بوده که برای تجزیه و تحلیل شکل‌های حاصل از تزریق نمونه‌ها از آن استفاده شد. از هلیم به عنوان گاز حامل با شدت جريان ۲۰ ml/min استفاده شد. دمای ستون، دمای تزریق کننده و دمای شناساگر به ترتیب ۵۰، ۹۰ و ۱۴۰ °C تعیین شد. در ابتدا پیک‌های گازهای خالص متان، دی‌اکسیدکربن، نیتروژن و هوای محیط تحت شرایط مشخص برای دستگاه GC تعیین شد. هم‌چنین زمان آشکار شدن گاز توسط شناساگر مشخص شد (Ebrahimian et al., 2020).

هر سه روز یکبار نمونه‌گیری از راکتورها و آنالیز گاز تولید شده در این بازه زمانی انجام گرفت. در نمونه‌برداری از راکتورهای

بیوگاز کاهش یافته است. Li and Jin (2015) اثر پیش‌پردازش‌های حرارتی در گستره دمایی ۱۶۰-۵۰ °C را به‌واسطه تغییر خصوصیات حل شدگی بر هضم بی‌هوایی پسماند آشپزخانه بررسی کردند. بهترین شرایط به‌منظور تولید متان در دمای ۹۰ و ۱۲۰ درجه سانتیگراد به ترتیب در زمان‌های ماند ۷۰ و ۵۰ دقیقه به دست آمد. هدف اصلی این مطالعه بررسی اثر هیدروچار تولیدی در درجه حرارت‌های متفاوت در فرایند کربنیزاسیون گرمابی و اثر آن بر هضم بیهوازی بخش آلی پسماندهای شهری است.

## ۲- مواد و روش‌ها

### ۲-۱- تهیه نمونه‌ها

نمونه‌های بخش آلی پسماندهای شهری از محل دفن پسماند آزادکوه شهر تهران واقع در جنوب تهران نزدیک شهر کهربیزک در جاده قدیم تهران-قم تهیه شد و در اندازه‌های ۱/۵ میلی‌متر مورد استفاده قرار گرفت. لجن فعال شده به عنوان ماده تلقیحی یا مخلوط میکروبی از لجن بی‌هوایی تصفیه‌خانه فاضلاب شهری جنوب تهران جمع‌آوری شد. از آن‌جا که لجن تهیه شده حاوی ذرات جامد با اندازه‌های مختلف بود، لذا قبل از استفاده توسط صافی با روزنه‌هایی در ابعاد ۱/۵-۱ میلی‌متر صاف شد تا جامدات موجود در مخلوط میکروبی جدا شوند.

### ۲-۲- پایلوت کربنیزاسیون گرمابی

فرایند تولید هیدروچار در راکتوری به ظرفیت ۳ لیتر (ظرفیت کاری: ۲ لیتر) از جنس فولاد ضدزنگ با توانایی فعالیت در دما و فشار متفاوت انجام شده است. در هر آزمایش براساس طراحی انجام شده، مقدار ۴۵۰ گرم بخش آلی پسماند شهری به همراه ۱۰ لیتر آب مقطر مخلوط شده و بعد از همزدن به‌مدت ۱۰/۸ دقیقه، در راکتور به صورت عایق بسته شده و ۴۰ دقیقه به عنوان زمان ماند واکنش درنظر گرفته شد. هر آزمایش به‌منظور دقت کافی، سه بار صورت‌پذیرفت. فشارسنج به‌ازای تغییرات دما، میزان فشار ۱۰-۴ بار را نشان داد. هیدروچار تولیدی به‌منظور خشک شدن، به‌مدت ۲۴ ساعت در دمای ۱۰۵ درجه سانتی‌گراد قرار داده شد. در انتهای همه نمونه‌های هیدروچار تولیدی به‌منظور نگهداری و سپس استفاده در فرایند هضم بی‌هوایی، در کیسه‌های پلاستیکی در دمای ۴ درجه سانتی‌گراد نگهداری شدند. بازدهی هیدروچار و انرژی تولیدی براساس فرمول‌های (۱ و ۲) به‌دست آمدند.

از ۱۰۰٪ حاصل شد (Volpe et al., 2018). مقدار pH نیز به وسیله testo 250 pH meter انجام شد. همچنین میزان مواد فرار (VM)، کربن ثابت (FC) بر اساس استاندارد متد ASTM D-3175-89 به دست آمد (Volpe et al., 2018).

### ۳- نتایج و بحث

در جدول ۱ خصوصیات فیزیکی و شیمیایی ماده تلقیحی و بخش آلی پسماند شهری برای آشنایی با خوارک مورد استفاده در هاضم و فرایند کربنیزاسیون گرمابی ارائه شده است. همچنین در جدول ۲ نتایج آنالیز نهایی شامل درصد کربن، هیدروژن، نیتروژن، گوگرد و اکسیژن و آنالیز تقریبی شامل درصد VS، FC و خاکستر برای خوارک هاضم بی‌هوایی از جمله بخش آلی پسماند شهری و هیدروچارهای تولید شده در دماهای متفاوت فرایند کربنیزاسیون گرمابی شامل ۱۶۰، ۱۹۰ و ۲۳۰ درجه سانتیگراد ارائه شده است.

نایپوسته هضم بی‌هوایی، میزان ۲۵۰ میکرولیتر از نمونه گاز تولیدی به وسیله سرنگ قفل‌کننده فشار به دستگاه GC تزریق شده و نتایج حاصل از تزریق بیوگاز تولیدی به دستگاه GC ذخیره و برای محاسبه ترکیب درصد بیوگاز و حجم متان و دی‌اکسیدکربن استفاده شد (Ebrahimian et al., 2020).

### ۴- آزمایشات انجام شده

در این مطالعه به منظور شناخت خوارک از جمله بخش آلی پسماند شهری، ماده تلقیحی و انواع هیدروچار، درصد مواد فرار (VS) و درصد کل مواد جامد (TS) از روش استاندارد APHA به دست آمد (Federation and APH Association, 2005). میزان خاکستر نمونه‌ها در دمای  $575 \pm 5$  درجه سانتی‌گراد و براساس ASTM D-1102 به دست آمد (ASTM, 2021). آنالیز عنصر یا "Elementary Trading Shanghai Co., Ltd. China" برای تشخیص میزان کربن، نیتروژن، هیدروژن و سولفور انجام پذیرفت. میزان اکسیژن نیز از کاهش عناصر مذکور سولفور انجام پذیرفت.

جدول ۱- خصوصیات بخش آلی پسماند شهری و ماده تلقیحی

ماده تلقیحی	بخش آلی پسماندهای شهری	پارامتر
۳/۳	۲۵/۷۲	درصد TS (براساس وزن تر)
۱/۹	۲۰/۶۱	درصد VS (براساس وزن تر)
۵۷/۵۸	۸۰/۱۳	نسبت VS/TS (براساس وزن خشک)
۲۵/۷۴	۴۹/۲۲	درصد مجموع کربن (براساس وزن خشک)
۲/۸۱	۳/۸۲	درصد مجموع نیتروژن (براساس وزن خشک)
۳/۵۴	۶/۱	درصد هیدروژن (براساس وزن خشک)
۱/۲۲	۰/۴	درصد گوگرد (براساس وزن خشک)
۶۶/۶۹	۴۰,۴۶	درصد هیدروژن (براساس وزن خشک)
۹/۱۶	۱۲/۸۸	نسبت کربن به نیتروژن (C/N)
۶/۶	۵/۲	pH
-	۴/۹۸	میزان خاکستر

جدول ۲- پارامترهای فیزیکی و شیمیایی بخش آلی پسماندهای شهری و هیدروچار در دماهای مختلف

نمونه	آنالیز نهایی (براساس وزن خشک)								
	آنالیز تقریبی (براساس وزن خشک)	درصد FC	درصد VM	درصد درصد	اکسیژن (%)	گوگرد (%)	نیتروژن (%)	هیدروژن (%)	کربن (%)
بخش آلی پسماندهای شهری	۴۹/۴۳	۲۴/۰۳	۷۱/۵۴	۴۰/۴۶	۰/۴	۳/۸۲	۶/۱	۴۹/۲۲	
هیدروچار- ۱۵۰	۵/۲۵	۲۵/۷۸	۶۸/۹۷	۳۵/۴۳	۰/۴۴	۵/۱۲	۶/۱	۵۲/۹۱	
هیدروچار- ۱۹۰	۶/۹۷	۲۷/۰۲	۶۶/۰۱	۲۹/۴۸	۰/۴۶	۴/۲۴	۷/۰۸	۵۸/۷۴	
هیدروچار ۲۳۰	۷/۹	۳۰/۹۶	۶۱/۱۴	۲۲/۶۹	۰/۴۶	۳/۹۴	۶/۳۴	۶۶/۵۷	

حرارتی برای بخش آلی پسماندهای شهری و هیدروچارهای ۱۵۰، ۱۹۰ و ۲۳۰ برابر با ۲۰/۳۷، ۲۴/۸۴ و ۲۷/۶۴ گزارش شد که براساس بازدهی هیدروچار و ارزش حرارتی و همچنین فرمول (۱)، میزان بازدهی انرژی برای هریک از هیدروچارهای اشاره شده به ترتیب برابر با ۶۸/۸۴، ۶۸/۸۴ و ۷۷/۴٪ ۷۲/۱۴٪ بود.

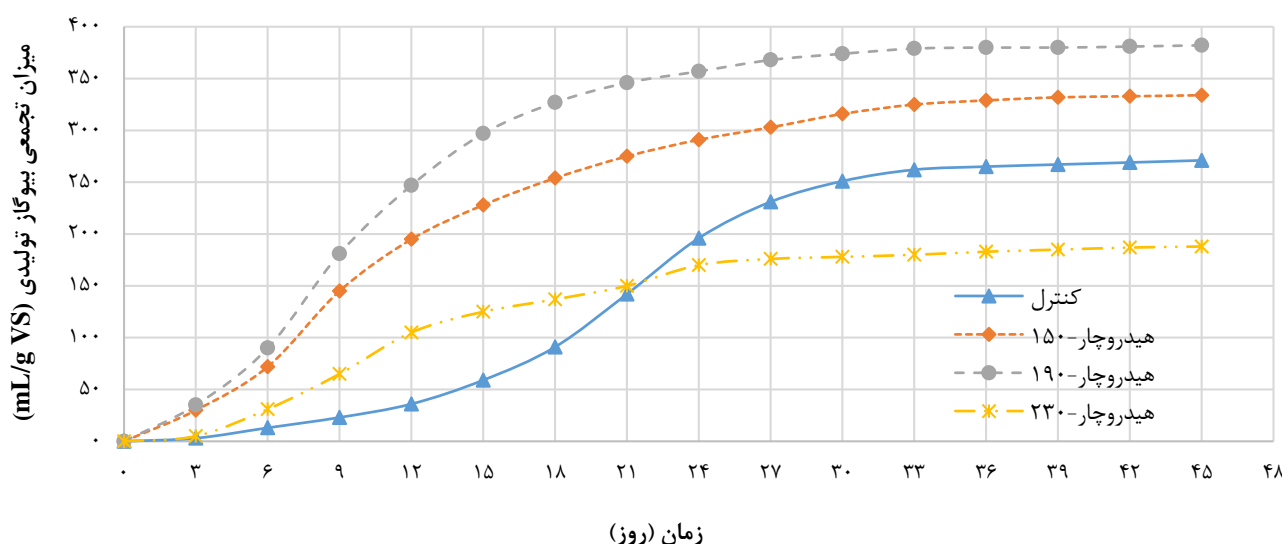
در جدول ۳ نتایج مربوط به بازدهی هیدروچار تولیدی (٪)، ارزش حرارتی (MJ/kg)، بازدهی انرژی (٪) و سطح ویژه هیدروچارهای تولیدی در فرایند کربنیزاسیون گرمابی درج شده است. درصد بازدهی برای هیدروچار- ۱۵۰، ۱۹۰ و ۲۳۰ به ترتیب برابر با ۶۱/۵۴، ۶۱/۵۴ و ۵۶/۷۴٪ ۴۷/۵۳٪ بود. همین‌طور میزان ارزش

جدول ۳- بازدهی فرایند کربنیزاسیون گرمابی و بیوگاز تولیدی

درصد متان تولیدی (%)	مجموع بیوگاز تولیدی در هاضم (mL/g VS)	بازدهی انرژی (%)	ارزش حرارتی (MJ/kg)	بازدهی هیدروچار (%)	نمونه
۵۶/۸۳	۲۷۱	-	۱۸/۲۱	-	بخش آلی پسماندهای شهری
۶۸/۳۳	۳۳۴	۶۸/۸۴	۲۰/۳۷	۶۱/۵۴	هیدروچار-۱۵۰
۶۳/۲۵	۳۸۲	۷۷/۴	۲۴/۸۴	۵۶/۷۴	هیدروچار-۱۹۰
۶۱/۶۲	۱۸۸	۷۲/۱۴	۲۷/۶۴	۴۷/۵۳	هیدروچار-۲۳۰

۱۹۰ افزایش و برای هیدروچار ۲۳۰ کاهش را نشان داده است. میزان بیوگاز تولیدی به صورت مقطعی (هر سه روز یکبار) در شکل ۲ ارائه شده است. رفتار هاضم بیهوازی از حیث میزان تولید بیوگاز به صورت جزئی تر و در گذر زمان نشان داده شده است. بیشترین میزان بیوگاز تولیدی در هاضم‌های دارای هیدروچار ۱۵۰ و ۱۹۰ در روز نهم، برای هاضم دارای هیدروچار-۲۳۰ در روز دوازدهم و در نمونه کنترل در روز بیست و چهارم از شروع تولید بیوگاز اتفاق افتاد.

در شکل ۱ میزان بیوگاز تولیدی در هریک از هاضم‌ها به صورت تجمعی در ۴۵ روز نشان داده شده است. میزان بیوگاز تولیدی در انتهای ۴۵ روز در نمونه کنترل (مخلوط بخش آلی پسماندهای شهری و ماده تلقیحی) معادل ۲۷۱ mL/g VS بود. نمونه کنترل به منظور دریافت میزان تغییرات قبل و بعد از فرایند گرمابی انجام شده است. همچنین میزان بیوگاز تولیدی در نمونه‌های هاضم بیهوازی هیدروچار-۱۵۰، ۱۹۰ و ۲۳۰ درجه سانتی‌گراد و ماده تلقیحی نشان داده شده است که به ترتیب برابر با ۳۸۲ و ۳۳۴ mL/g VS بود. برای هیدروچارهای ۱۵۰ و ۱۹۰

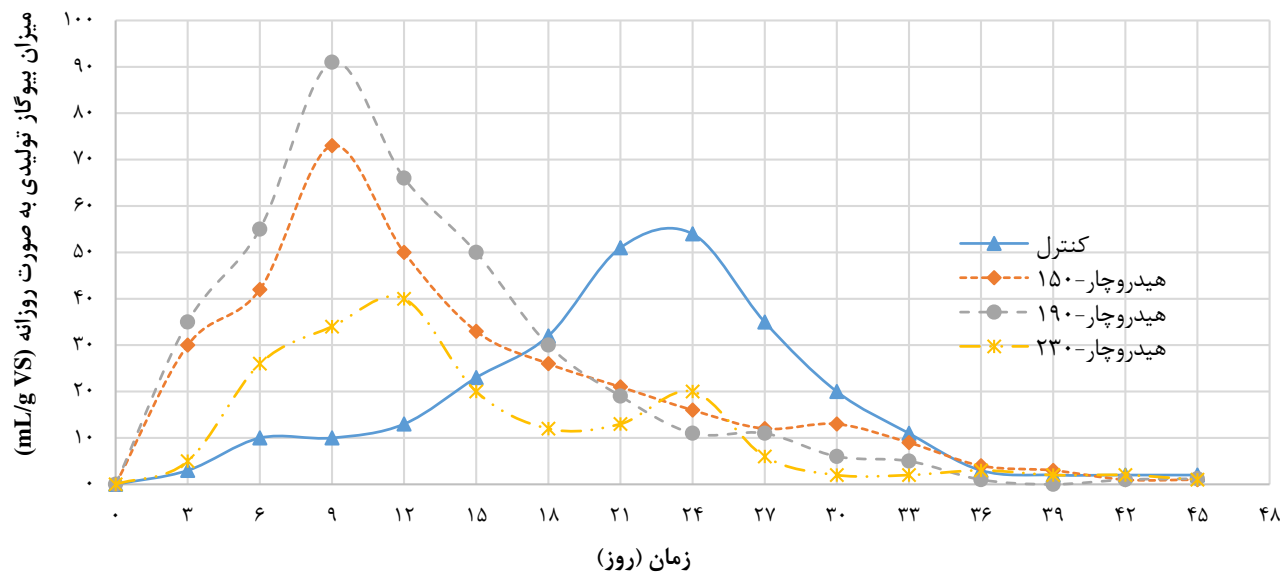


شکل ۱- بازدهی بیوگاز تولیدی به صورت تجمعی در هاضم بیهوازی در طول ۴۵ روز

بر اثر افزایش دما بالاتر رفته، مواد آلی بیشتری به مواد کربنی تبدیل می‌شوند. این موارد در دیگر مطالعات نیز مشاهده شده است (Basso et al., 2016; Mäkelä et al., 2015; Benavente et al., 2015). طبق گزارش محققین، طی فرایند کربنیزاسیون گرمابی، درصد کربن در بازه دمایی ۱۸۰-۲۵۰ درجه سانتی‌گراد، از ۴۵/۰۲ به ۵۳/۸۴٪ (افزایش ۱۹/۶٪) رسیده (Basso et al., 2016) و در بازه دمایی ۲۵۰-۲۰۰ درجه سانتی‌گراد، از ۵۵/۵۲ به ۶۶/۲۴٪ (افزایش ۱۹/۳٪) رسید. طبق بررسی‌های به عمل آمده، میزان تغییرات کربن نسبت به مطالعات مشابه بیشتر بوده است.

### ۳-۱- خصوصیات فیزیکی و شیمیایی خوراک و هیدروچار تولیدی

درصد کربن در آنالیز تقریبی با افزایش درجه حرارت فرایند کربنیزاسیون گرمابی افزایش یافته است. میزان افزایش در هیدروچار-۱۵۰، ۱۹۰ و ۲۳۰ به ترتیب از ۴۹/۲۲٪ (قبل از انجام فرایند کربنیزاسیون گرمابی) به ۵۲/۹۱٪، ۵۲/۷۴٪ و ۵۸/۷۴٪ رسیده که به میزان ۱۹/۳٪، ۷/۵٪ و ۳۵/۲٪ افزایش یافته است. در نتیجه این تغییرات، هیدروچار تولیدی نسبت به خوراک اولیه یا همان بخش آلی پسماندهای شهری دارای نسبت کربن به نیتروژن بالاتری است. با توجه به این که شدت فرایند کربنیزاسیون گرمابی



شکل ۲- بازدهی بیوگاز تولیدی روزانه در ۴۵ روز در هاضم بیهوای

هرچند در مطالعه دیگری نشان داده شده است که در دماهای بالاتر مانند ۲۶۰ و ۲۸۰ درجه سانتیگراد، میزان بازدهی هیدروچار افزایشی است که ناشی از واکنش بک-پلیمریزاسیون از فاز مایع به جامد در فرایند کربنیزاسیون گرمابی است که بر میزان تجزیه مواد آلى اولیه فائق می‌آید (Coronella et al., 2014). برخلاف بازدهی هیدروچار، میزان ارزش حرارتی با افزایش دمای فرآیند کربنیزاسیون گرمابی، افزایش پیدا کرده است. میزان تغییرات ارزش حرارتی هیدروچارهای تولیدی در دماهای ۱۵۰ و ۱۹۰ و ۲۳۰ درجه سانتیگراد نسبت به خوراک ورودی به راکتور کربنیزاسیون گرمابی معادل  $11/9$ ،  $36/4$  و  $51/8$ ٪ است. با توجه به افزایش درصد کربن، پیش‌بینی می‌شد که ارزش حرارتی افزایش داشته باشد و این مورد نیز توسط برخی مطالعات بر روی سایر خوراکها به اثبات رسیده است. دلیل اصلی آن، افزایش زغالی‌سازی ماده خروجی بر اثر افزایش دمای فرایند کربنیزاسیون گرمابی است. در دیگر مطالعات تا ۶۱٪ افزایش در ارزش حرارتی بهازای افزایش درجه حرارت تا  $25^{\circ}\text{C}$  نیز گزارش شده است (Volpe and Fiori, 2017; Jain et al., 2016) ارائه شده و فرمول  $(2)$ ، میزان بازدهی انرژی با افزایش دمای فرایند کربنیزاسیون گرمابی، ابتدا افزایش و سپس کاهش می‌یابد. همان‌طور که در جدول ۲ نشان داده شده است درصد بازدهی انرژی برای هیدروچار-۱۹۰  $77/4$ ٪ برابر  $190/77$ ٪ است.

### ۳-۳- اثرگذاری پردازش کربنیزاسیون گرمابی بر هضم بیهوای

با توجه به شکل ۱، میزان بیوگاز تولید شده در نمونه کنترل

طبق نتایج آنالیز تقریبی در جدول ۲، میزان مواد فرار (VM) با افزایش درجه حرارت فرایند کربنیزاسیون گرمابی کاهش و میزان کربن ثابت (FC) افزایش دارد. این مورد ناشی از زغالی‌سازی بیشتر در نتیجه افزایش درجه حرارت فرایند گرمابی است (Volpe and Fiori, 2015). براساس نتایج آنالیز عصری، میزان گوگرد بسیار ناچیز است (کمتر از  $0/5$ ٪ وزنی). با افزایش دمای فرایند کربنیزاسیون گرمابی، نسبت‌های H/C و O/C کاهش پیدا کرده که ناشی از واکنش دی‌هیدراتاسیون در فرآیند کربنیزاسیون گرمابی است (Volpe and Fiori, 2015).

### ۳-۴- بازدهی فرآیند گرمابی

همان‌طور که در جدول ۳ نشان داده شده است، میزان بازدهی هیدروچار با افزایش دمای کاهش پیدا می‌کند و درنتیجه میزان هیدروچار کمتری در طی فرایند ایجاد می‌شود. درصد کاهش بهتر ترتیب در هیدروچارهای تولیدی در دمای ۱۹۰ و  $230^{\circ}\text{C}$  سانتیگراد نسبت به  $150^{\circ}\text{C}$  درجه سانتیگراد معادل  $7/8$  و  $22/8$ ٪ است. سایر مطالعات نیز مشابه این موضوع را نشان می‌دهند، به طوری که در تحقیقی، میزان بازدهی جرمی زغال آلى در بازه دمایی  $250-180^{\circ}\text{C}$  درجه سانتیگرد، بیش از  $50\%$  کاهش یافت (Basso et al., 2015; Frunke and Ziegler, 2011). این مشاهدات نتیجه یکسری واکنش‌ها تحت عنوان دی‌هیدراتاسیون و دی‌کربوکسیلاتاسیون است که در دماهای بالاتر اثرگذاری بیشتری دارند و واکنش را به سمت تولید گاز بیشتر و کاهش ماده جامد سوق می‌دهند. در نتیجه کربن دی‌اکسید و مونواکسید کربن بیشتری تولید می‌شود (Basso et al., 2015; Choe et al., 2019).

خام افزایش داد، تولید بیوگاز در بازه زمانی کمتری رخ داد و تأخیر زمانی در تولید بیوگاز به وجود نیامد. طبق نتایج به دست آمده، پیش‌پردازش توسط فرایند کربنیزاسیون گرمابی به صورت مستقیم بر میزان و زمان تولید بیوگاز و همچنین درصد متان فرایند گرمابی بود که طبق نتایج به دست آمده با افزایش دمای تولیدی در بیوگاز اثرگذار بود. میزان تولید بیوگاز وابسته به شرایط فرایند گرمابی بود که طبق نتایج به دست آمده با افزایش دمای تولیدی هیدروچار، ابتدا تولید بیوگاز در راکتور هضم بیهوازی افزایش و در دماهای بالا به صورت سریع کاهش یافت. لذا قبل از استفاده از فرآیند پیش‌پردازش کربنیزاسیون گرمابی باید دمای بهینه به دست آید. در خصوص بازه زمانی، با توجه به این که در ساختار سخت مواد در فرایند کربنیزاسیون گرمابی، شکست رخ می‌دهد، تأخیر در تولید بیوگاز رخ نخواهد داد و در انواع هیدروچار (تولیدی در درجه حرارت‌های مختلف) بازه زمانی تولید بیوگاز کاهش خواهد یافت. هرچند که در دماهای بالاتر امکان تولید ترکیباتی وجود دارد که به عنوان مانع در مسیر تکمیل فرایند هضم بیهوازی قرار گیرند. با توجه به نتایج به دست آمده، فرآیند کربنیزاسیون گرمابی اگر به صورت بهینه مورد استفاده قرار گیرد می‌تواند در دو حالت شامل ۱- افزایش تولید بیوگاز و ۲- کاهش تأخیر زمانی تولید بیوگاز، تأثیر بهسزایی در افزایش راندمان هاضمهای بیهوازی بخش آلتی پسماند شهری داشته باشد. همچنین در انتهای پیشنهاد می‌شود سایر عوامل اثرگذار مانند زمان ماند، pH، غلظت خوارک فرایند هیدرورتمال کربنیزاسیون و اثرگذاری این پارامترها بر یکدیگر مورد مطالعه سایر محققین قرار گیرد.

## ۵- سپاسگزاری

از اساتید محترم و آزمایشگاه "تبديل پسماند به انژی" دانشکده محیط‌زیست دانشگاه تهران و پژوهشکده مواد و انژی به دلیل تسهیل روند انجام آزمایش‌ها تشکر می‌شود. لازم به ذکر است که این کار تحقیقاتی مستخرج از رساله در مقطع دکتری بوده است.

## ۶- مراجع

- Abudi, Z.N., Hu, Z., Sun, N., Xiao, B., Rajaa, N., Liu, C., and Guo, D., (2016), "Batch anaerobic co-digestion of OFMSW (organic fraction of municipal solid waste), TWAS (thickened waste activated sludge) and RS (rice straw): Influence of TWAS and RS pretreatment and mixing ratio", *Energy*, 107, 131-140.
- Aragón-Briceño, C., Ross, A.B., and Camargo-Valero, M.A., (2017), "Evaluation and comparison of product

طی ۴۵ روز معادل VS ۲۷۱ mL/g بود و پس از انجام پردازش کربنیزاسیون گرمابی، این میزان در هیدروچار ۱۵۰- و ۱۹۰- به ترتیب ۲۳/۲۵ و ۴۱/۰۳٪ افزایش و در هیدروچار- ۲۳۰- ۳۰٪/۶۳ کاهش داشته است. افزایش میزان تولید بیوگاز به دلیل شکسته شدن ترکیبات آلتی پیچیده به ترکیبات مولکولی سنگین در فرایند کربنیزاسیون گرمابی است. ترکیبات با جرم مولکولی سنگین شامل کربوهیدرات، پروتئین و دیگر محصولات هیدرولیز شده است. این ترکیبات پتانسیل بیشتری برای تبدیل شدن به ترکیبات با جرم مولکولی سبک دارند و درنتیجه تولید بیوگاز دارند (Phuttaro et al., 2019). کاهش میزان تولید بیوگاز در هیدروچار- ۲۳۰- درجه سانتی‌گراد به دلیل کاهش مواد فرار در هیدروچار از ۶۸/۹۷ به ۶۱/۱۴٪ است. دلیل دیگر نیز مربوط به تولید فنول و فورفورال و تولید سایر ترکیبات با جرم مولکولی بالا و غیرقابل تجزیه در دماهای بالا در فرایند کربنیزاسیون گرمابی است. فنول و فورفورال به عنوان مانع در انجام واکنش کامل فرایند هضم بیهوازی شناخته می‌شوند. علاوه‌بر این درصد تولید مтан در هیدروچار- ۱۵۰- بیشترین مقدار خود و معادل ۶۸/۳۳٪ بود که با افزایش درجه حرارت فرایند کربنیزاسیون گرمابی، درصد تولید مтан نسبت به کل بیوگاز کاهش یافته است. در سایر محققین نیز Choe et al., 2019; He et al., 2014; Aragón-Briceño et al., 2017 هم‌زمان سرعت تولید بیوگاز نیز در انواع هیدروچار نسبت به نمونه کنترل افزایش یافته است و به تعبیری نقطه عطف هیدروچارها در شکل ۱ در بازه زمانی کمتری نسبت به نمونه کنترل انجام پذیرفته است. همچنین در شکل ۲، قله هریک از نمودارهای تولید بیوگاز در بازه زمانی کمری اتفاق می‌افتد. میزان بیشینه تولید بیوگاز در نمونه کنترلی، هیدروچارهای- ۱۵۰-، ۱۹۰- و ۲۳۰- به ترتیب در روزهای ۲۴، ۹، ۹ و ۱۲ اتفاق افتاده است. این مورد نشان‌دهنده این موضوع است که به هاضمهایی با ظرفیت (حجم) کمتر نیاز خواهد بود و در نتیجه هزینه‌های عملیاتی کاهش پیدا خواهد کرد (Rani et al., 2012).

## ۴- نتیجه‌گیری

هدف از انجام این کار تحقیقاتی، به دست آوردن اثر پیش‌پردازش فرایند کربنیزاسیون گرمابی بر هضم بیهوازی پسماند آلتی در درجه حرارت‌های مختلف بود. در بین نمونه‌های بررسی شده، بهترین عملکرد مربوط به هیدروچار تولید شده در دمای ۱۹۰- درجه سانتی‌گراد بود که میزان تولید بیوگاز را نسبت به نمونه

- Greco, A., (2020), "An innovative IoT-oriented prototype platform for the management and valorisation of the organic fraction of municipal solid waste", *Journal of Cleaner Production*, 247, 119618.
- Funke, A., and Ziegler, F., (2011), "Heat of reaction measurements for hydrothermal carbonization of biomass", *Bioresource Technology*, 102(16), 7595-7598.
- Hansen, T. L., Schmidt, J.E., Angelidaki, I., Marca, E., la Cour Jansen, J., Mosbæk, H., and Christensen, T.H., (2004), "Method for determination of methane potentials of solid organic waste", *Waste Management*, 24(4), 393-400.
- He, C., Chen, C.L., Giannis, A., Yang, Y., and Wang, J.Y., (2014), "Hydrothermal gasification of sewage sludge and model compounds for renewable hydrogen production: a review", *Renewable and Sustainable Energy Reviews*, 39, 1127-1142.
- Jain, A., Balasubramanian, R., and Srinivasan, M.P., (2016), "Hydrothermal conversion of biomass waste to activated carbon with high porosity: A review", *Chemical Engineering Journal*, 283, 789-805.
- Libra, J.A., Ro, K.S., Kammann, C., Funke, A., Berge, N.D., Neubauer, Y., Titirici, M.M., Fühner, C., Bens, O., Kern, J. and Emmerich, K.H., (2011), "Hydrothermal carbonization of biomass residuals: a comparative review of the chemistry, processes and applications of wet and dry pyrolysis", *Biofuels*, 2(1), 71-106.
- Li, Y., and Jin, Y., (2015), "Effects of thermal pretreatment on acidification phase during two-phase batch anaerobic digestion of kitchen waste", *Renewable Energy*, 77, 550-557.
- Liu, Y., Ni, Z., Kong, X., and Liu, J., (2017), "Greenhouse gas emissions from municipal solid waste with a high organic fraction under different management scenarios", *Journal of Cleaner Production*, 147, 451-457.
- Liu, J., Zhao, M., Lv, C., and Yue, P., (2020), "The effect of microwave pretreatment on anaerobic co-digestion of sludge and food waste: Performance, kinetics and energy recovery", *Environmental Research*, 189, 109856.
- Mäkelä, M., Benavente, V., and Fullana, A., (2015), "Hydrothermal carbonization of lignocellulosic biomass: Effect of process conditions on hydrochar properties", *Applied Energy*, 155, 576-584.
- Mustafa, A.M., Li, H., Radwan, A.A., Sheng, K., and Chen, X., (2018), "Effect of hydrothermal and Ca (OH)<sub>2</sub> pretreatments on anaerobic digestion of sugarcane bagasse for biogas production", *Bioresource Technology*, 259, 54-60.
- Pham, T.P.T., Kaushik, R., Parshetti, G.K., Mahmood, R., and Balasubramanian, R., (2015), "Food waste-to-energy conversion technologies: Current status and future directions", *Waste Management*, 38, 399-408.
- Phuttaro, C., Sawatdeeanarunat, C., Surendra, K.C., Boonsawang, P., Chaiprapat, S., and Khanal, S.K., (2019), "Anaerobic digestion of hydrothermally-pretreated lignocellulosic biomass: Influence of pretreatment temperatures, inhibitors and soluble yields and bio-methane potential in sewage digestate following hydrothermal treatment", *Applied energy*, 208, 1357-1369.
- ASTM E1621-21, (2021), *Standard guide for elemental analysis by wavelength dispersive x-ray fluorescence spectrometry*, ASTM International, West Conshohocken, PA.
- Babu, R., Veramendi, P.M.P., and Rene, E.R., (2021), "Strategies for resource recovery from the organic fraction of municipal solid waste", *Case Studies in Chemical and Environmental Engineering*, 3, 100098.
- Basso, D., Patuzzi, F., Castello, D., Baratieri, M., Rada, E.C., Weiss-Hortala, E., and Fiori, L., (2016), "Agro-industrial waste to solid biofuel through hydrothermal carbonization", *Waste Management*, 47, 114-121.
- Basso, D., Weiss-Hortala, E., Patuzzi, F., Castello, D., Baratieri, M., and Fiori, L., (2015), "Hydrothermal carbonization of off-specification compost: A byproduct of the organic municipal solid waste treatment", *Bioresource Technology*, 182, 217-224.
- Bolzonella, D., Pavan, P., Mace, S., and Cecchi, F., (2006), "Dry anaerobic digestion of differently sorted organic municipal solid waste: A full-scale experience", *Water Science and Technology*, 53(8), 23-32.
- Benavente, V., Calabuig, E., and Fullana, A., (2015), "Upgrading of moist agro-industrial wastes by hydrothermal carbonization", *Journal of Analytical and Applied Pyrolysis*, 113, 89-98.
- Cesaro, A., and Belgiorno, V., (2014), "Pretreatment methods to improve anaerobic biodegradability of organic municipal solid waste fractions", *Chemical Engineering Journal*, 240, 24-37.
- Cesaro, A., Belgiorno, V., Siciliano, A., and Guida, M., (2019), "The sustainable recovery of the organic fraction of municipal solid waste by integrated ozonation and anaerobic digestion", *Resources, Conservation and Recycling*, 141, 390-397.
- Choe, U., Mustafa, A.M., Lin, H., Xu, J., and Sheng, K., (2019), "Effect of bamboo hydrochar on anaerobic digestion of fish processing waste for biogas production", *Bioresource Technology*, 283, 340-349.
- Choe, U., Mustafa, A.M., Zhang, X., Sheng, K., Zhou, X., and Wang, K., (2021), "Effects of hydrothermal pretreatment and bamboo hydrochar addition on anaerobic digestion of tofu residue for biogas production", *Bioresource Technology*, 336, 125279.
- Coronella, C.J., Lynam, J.G., Reza, M.T., and Uddin, M.H., (2014), "Hydrothermal carbonization of lignocellulosic biomass", *Biomass Conversion and Biorefinery*, 5(2), 173-181.
- Ebrahimian, F., Karimi, K., and Kumar, R., (2020), "Sustainable biofuels and bioplastic production from the organic fraction of municipal solid waste", *Waste Management*, 116, 40-48.
- Federation, W.E., and APH Association., (2005), "Standard methods for the examination of water and wastewater", *American Public Health Association (APHA)*, Washington, DC, USA.
- Ferrari, F., Striani, R., Minosi, S., De Fazio, R., Visconti, P., Patrono, L., Catarinucci, L., Corcione, C.E. and

organics on methane yield”, *Bioresource Technology*, 284, 128-138.

Rani, R.U., Kumar, S.A., Kaliappan, S., Yeom, I.T., and Banu, J.R., (2012), “Low temperature thermochemical pretreatment of dairy waste activated sludge for anaerobic digestion process”, *Bioresource Technology*, 103(1), 415-424.

Vergara, S.E., and Tchobanoglou, G., (2012), “Municipal solid waste and the environment: a global perspective”, *Annual Review of Environment and Resources*, 37, 277-309.

Volpe, M., Goldfarb, J.L., and Fiori, L., (2018), “Hydrothermal carbonization of *Opuntia ficus-indica* cladodes: Role of process parameters on hydrochar properties”, *Bioresource Technology*, 247, 310-318.

Volpe, M., and Fiori, L., (2017), “From olive waste to solid biofuel through hydrothermal carbonisation: The role of temperature and solid load on secondary char formation and hydrochar energy properties”, *Journal of Analytical and Applied Pyrolysis*, 124, 63-72.

Wilson, D.C., Rodic, L., Modak, P., Soos, R., Carpintero, A., Velis, K., Iyer, M. and Simonett, O., (2015), *Global waste management outlook*, UNEP.

Xu, J., Mustafa, A. M., Lin, H., Choe, U. Y., and Sheng, K., (2018), “Effect of hydrochar on anaerobic digestion of dead pig carcass after hydrothermal pretreatment”, *Waste Management*, 78, 849-856.

Yu, Q., Liu, R., Li, K., and Ma, R., (2019), “A review of crop straw pretreatment methods for biogas production by anaerobic digestion in China”, *Renewable and Sustainable Energy Reviews*, 107, 51-58.

Zamri, M.F.M.A., Hasmady, S., Akhiar, A., Ideris, F., Shamsuddin, A.H., Mofijur, M., Fattah, I.R., and Mahlia, T.M.I., (2021), “A comprehensive review on anaerobic digestion of organic fraction of municipal solid waste”, *Renewable and Sustainable Energy Reviews*, 137, 110637.

Zeynali, R., Khojastehpour, M., and Ebrahimi-Nik, M., (2017), “Effect of ultrasonic pre-treatment on biogas yield and specific energy in anaerobic digestion of fruit and vegetable wholesale market wastes”, *Sustainable Environment Research*, 27(6), 259-264.

Zhu, K., Liu, Q., Dang, C., Li, A., and Zhang, L., (2021), “Valorization of hydrothermal carbonization products by anaerobic digestion: Inhibitor identification, biomethanization potential and process intensification”, *Bioresource Technology*, 341, 125752.



This article is an open-access article distributed under the terms and conditions of the Creative Commons Attribution (CC-BY) license.